

Riboflavin 과 Orotic Acid Derivative 와의 分子間相互作用*

俞炳禹 · 李尙鍾 · 鄭曙榮 · 金良培 · 金鍾國

서울大學校 藥學大學

(Received June 3, 1979)

Byung Sul Yu, Sang Jong Lee, Seo Young Jeong, Yang Bae Kim and Chong Kook Kim

College of Pharmacy, Seoul National University, Seoul 151, Korea

Molecular Interaction of Riboflavin and Orotic Acid Derivatives

Abstract—Biophysical investigation has been carried out for the interaction of riboflavin tetraacetate and an orotic acid derivative to know the binding mechanism between dihydroorotate dehydrogenase and dihydroorotic acid which are concerned with the oxidoreduction *in vivo*. Infrared and nuclear magnetic resonance spectra were measured for the chloroform solution of riboflavin tetraacetate, orotic acid butyl ester and its same mixture. Orotic acid butyl ester has been found to associate with riboflavin tetraacetate. They form a strong complex with each other. The complex is an 1:2 cyclic hydrogen bonded trimer through the imino and 2-C carbonyl groups of the isoalloxazine ring and the imino groups of the orotic acid derivative.

dihydroorotate dehydrogenase는 生體內의 重要한 酶素로서 orotic acid의 酸化還元에 作用하고 있으며 構成因子로는 2 mole의 FAD, 2 mole의 FMN 및 4g atom의 銨속철분을 含有하고 있음이 알려져 있다. 이들의 生體內에서의 作用機轉^{1~4)}에 orotate와 結合體를 形成한다는 absorption spectrum研究結果가 報告된 바 있으나 아직 그 作用機轉 및 結合樣式에 대한 具體的인 研究는 알려지지 않고 있다. 또한 orotate는 生體內에서의 pyrimidine系化合物의 前驅物質로써 각 종 誘導體에 대한 合成報告는 많다^{5,6)}.

또 다른 측면에서 本酶素와 관련있는 flavin含有酶素의 研究 및 FAD, FMN分子의 舉動을 알아보는 生化學的 研究 또는 藥物分子와 orotic acid間 結合에 관한 研究도 盛行되고 있는 바이다⁷⁾.

최근 分光學的 器機의 發展으로 生體內活性分子의 分子水準에서의 舉動에 대한 研究 및 相互作用을 알아보는 研究가 重要視되고 있으며, 生化學的인 面에도 많은 도움을 주고 있다.

이에 著者들은 이제까지 알려진 dihydroorotate dehydrogenase의 生體內反應機轉을 보다 具

* 본 論文은 1979年度 文教部 研究助成費에 의한 論文이며 당국에 감사한다.

體的으로 알아 볼目的으로 이酵素의主要構造化合物인 FAD 또는 FMN의 model化合物을合成하고 이와反應하리라고推定되는 orotic acid誘導體를合成하여 이들分子間의結合與否와그結合의樣式을우선分子水準에서赤外吸收spectrum 또는核磁氣共鳴spectrum과같은分光學的인手段으로조사하였고,二次的으로는이들生體內分子와藥物分子의作用機轉을밝히는데도움이되고자함에그目的을두었다.

實驗

實驗物質—본실험에使用한物質로는FAD 또는 FMN의model化合物로서riboflavin誘導體를chloroform과같은有機溶媒에可溶性인化合物를얻기위해riboflavin $2',3',4',5'$ -tetraacetate(R)를合成하여試料로使用하였다. 그合成方法은이미알려진方法⁷⁾으로간단히要約하면다음과같다.

잘乾燥한pyridin溶媒中에서無水醋酸과乾燥한riboflavin를反應시킨다.反應溫度는室溫으로約48時間계속교반하여溶液이투명해지면ethanol로감압증류하여,최종적으로chloroform으로再結晶하여試料를얻었다.

orotic acid도有機溶媒에可溶性인化合物로하기위해orotic acid butyl ester를合成하여使用하였으며그合成方法은다음과같다.

orotic acid에정제한butyl alcohol을過量加하고(orotic acid 2g에butyl alcohol 200ml),여기에진한黃酸(98%)2ml를加하여10時間以上계속교반하여환류시키면연황색의透明한solution이된다. 이solution을감압증류하여전체부피의1/3가량될때까지蒸溜시킨다.蒸溜水로再結晶한후여러번蒸溜水로洗滌하여乾燥시켜板狀結晶의orotic acid butyl ester(Or)를얻었다.

赤外吸收spectrum과nmr spectrum측정용溶媒인重chloroform($CDCl_3$)은독일Merck Co.製品으로乾燥alumina gel의column을通하여정제한後試料를溶解시켜측정에使用하였다.

以下使用한試藥은시판一級品을정제없이使用하였다.

實驗方法—赤外吸收spectrum測定은Beckman IR 20A型의赤外分光光度計를使用하여測定하였으며測定에使用한溶液cell은 3μ 領域($3600\sim3000cm^{-1}$)및 6μ 領域($1800\sim1400cm^{-1}$)에서각각 $1.0mm$ KBr cell을使用하여測定하였다.

本論文에나타난모든赤外吸收spectrum圖는溶媒의曲線을基本線으로하여透過率을吸光度로환산한것이다.

nmr spectrum測定은Perkin-Elmer R32型의核磁氣共鳴吸收裝置를使用하였으며基準物質로TMS(intenal)를使用하였다.

實驗結果 및 考察

3μ 領域의赤外吸收스펙트럼— $0.02M$ 濃度의R溶液의赤外吸收spectrum은 $3380cm^{-1}$ 에서예민하고強한吸收spectrum이 나타난다(Fig. 1). (R)

이들의吸收帶는試料溶液을重水素化또는isoalloxazine의3位의N部位의水素를methyl화한methyl化合物에서는볼수가없으므로⁷⁾이吸收spectrum은riboflavin의NH基에기인하는NH基伸縮振動의吸收spectrum이라고結論지을수있다.

$0.02M$ 濃度의Or溶液의赤外吸收spectrum역시같은位置인 $3380cm^{-1}$ 에서R溶液보다더예민하고強한spectrum이나타난다(Fig. 1)(Or). 이吸收spectrum은pyrimidine ring의1,3:

位의 2 個의 NH 基에 기인하는吸收 spectrum이라고推定할 수 있다.

다음은 0.02M R 溶液과 Or 溶液을 같은 비율로混合한混合液 Fig. 1 (R+Or)의赤外吸收 spectrum에서는 Or 및 R의分離의非會合性吸收 spectrum인 3380cm^{-1} 의吸收 spectrum의强度가크게減少한사실을볼수있다. 이것은 두物質의分子內에存在하는NH基가會合하였다는것을나타내고있으며또한NH基가會合에利用되었음을示唆한다.

6μ 領域의赤外吸收 spectrum—다음은 CDCl_3 溶媒中에서 R+Or會合體의NH基와結合된結合部位를명백히할目的으로 6μ 領域의C=O基의伸縮振動의變化를알아보았다.

0.0025M R溶液의赤外吸收 spectrum은 1745cm^{-1} 부근에서 매우强한吸收 spectrum과 1715 , 1695cm^{-1} 에두個의吸收 spectrum이나타나는것을볼수있다.

1745cm^{-1} 부근에强하게나타나는吸收 spectrum은acetyl연기의C=O基의伸縮振動에의한것이라고알려져있고, 1715 , 1695cm^{-1} 에나타난2個의吸收 spectrum은2,4位의C=O基의伸縮振動에의한것이라알려져있다.⁷⁾

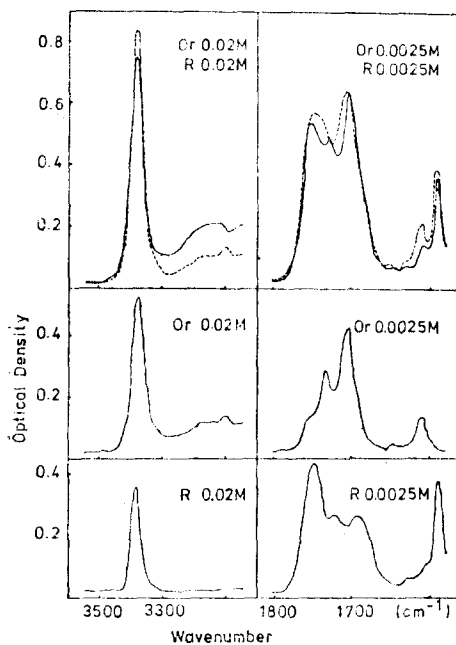


Fig. 1—Infrared spectra of orotic acid butyl ester and riboflavin tetraacetate and equimolar mixture solutions of each compounds in deuteriochloroform. Solid line, observed spectra; dotted line, calculated sum of individual spectrum. The path length is 1mm for the 3μ region and 1mm for the 6μ region.

그리고 1600cm^{-1} 에매우弱한吸收 spectrum이나타나는데, 이것은NH基의變角振動에기인하는것이라推定된다. 일반적으로文獻^{8~9)}에의하면NH基의變角振動에기인하는吸收 spectrum은대개 6μ 領域에매우弱한吸收 spectrum이나타나는것으로本實驗結果의吸收 spectrum이NH基임을쉽게歸結지을수있다.

0.0025M Or溶液의赤外吸收 spectrum은 1703cm^{-1} 에强한吸收 spectrum과 1730cm^{-1} 에다른吸收 spectrum과 1600cm^{-1} 에弱한또하나의吸收 spectrum을觀察할수있다(Fig. 1).

1703cm^{-1} 에나타난吸收 spectrum은butyl基로置換된C=O基의伸縮振動에기인하는吸收 spectrum이며, 1730cm^{-1} 에나타난吸收 spectrum은pyrimidine ring의2,4位의C=O基의伸縮振動에기인하는吸收 spectrum으로귀결지을수있다. 그리고 1600cm^{-1} 에나타난弱한吸收 spectrum은NH基의變角振動에의한吸收 spectrum일것으로推定된다.

R+Or溶液(0.005M)의赤外吸收 spectrum變化를살펴보면두物質의C=O基에의한吸收 spectrum band($1750\sim1700\text{cm}^{-1}$)가全體的으로크게減少된것을볼수있다(Fig 1). 이는C=O基가어떤結合에關與하였음을시

사해 주는 것이며, 本 實驗의 경우 分子內의 NH基와 水素結合을 形成하는데 利用되었다는 것을 말해주는 것이다.

또한 1600cm^{-1} 의 NH基의 變角振動에 의한吸收 spectrum도 크게 減少했음을 觀察할 수 있고 濃度를 4倍(0.01M)로 한 실험에서도 R과 Or의吸收 spectrum이 減少되어 짐을再確認할 수 있어 各分子間의 NH基와 C=O基가 結合에 관여하였음을 알 수 있었다.

Nmr spectrum 测定— CDCl_3 溶媒中에서 R과 Or의 水素結合을 명확히 確認하기 위하여 R, Or 및 R+Or의 nmr spectrum의 NH基의 proton에 의한 signal의 變化를 調査하여 보았다.

R, Or의 각각의 溶液과 R+Or溶液의 nmr spectrum을 比較하였을 때, 8.72 ppm에 나타난 R의 NH基의 signal이 저자장쪽으로 0.5 ppm 이동했으며, 9.15 ppm에 나타난 Or의 NH基의 signal도 0.3ppm 저자장쪽으로 이동하였다(Fig. 2).

結果的으로 두 物質의 NH基의 proton이

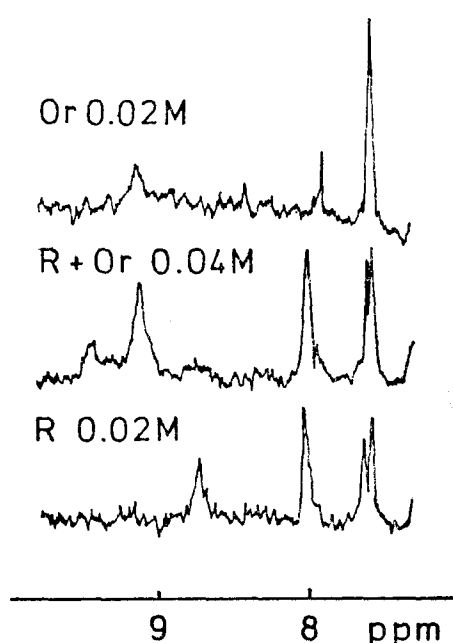


Fig. 2—Nmr spectra of orotic acid butyl ester and riboflavin tetraacetate and their mixtures in deuteriochloroform.

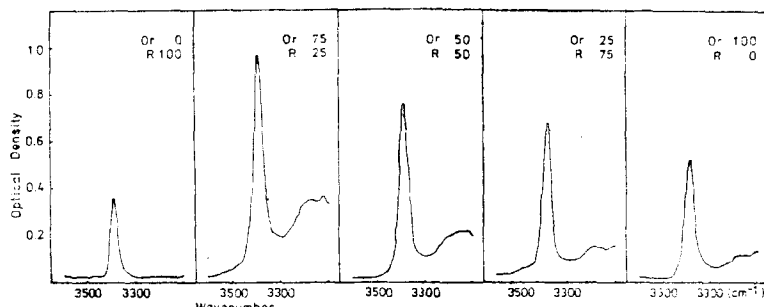


Fig. 3—Infrared spectra of various mixtures of riboflavin tetraacetate and orotic acid butyl ester. The total concentration of the material is 0.04M and the path length is 1 mm.

모두 저자장쪽으로 이동됨을 보아 두 NH 基가 水素結合에 관여하였음을 確認할 수 있어 赤外吸收 spectrum의 結果를 잘 뒷받침하여 준다.

連續變化法을 利用한 結合比率 決定—溶液中の 反應物間의 反應이 가성성임을 감안하여 吸光度를 測定하여 生成物의 結合比率를 決定하는 所謂 연속변화법^{10, 11)}을 利用하여 R과 Or의 結合比를 알아보았다.

R과 Or의 각각의 濃度가 0.04M인 溶液을 만들어, 두 溶液의 混合比를 變化시켜 가며, NH 基의 伸縮振動에 의해 나타나는 3380cm^{-1} 부근의 赤外吸收 spectrum의 吸收曲線의 強度 減少를 比較하였다. 이 때 각 比率의 混合液의 3380cm^{-1} 부근의 吸收曲線은 Fig. 3과 같다.

또한 變曲點을 알아보기 위해 graph上에 各 混合比率에 있어서의 吸收 spectrum 強度 減少를 graph에 表示했을 때 Fig. 4와 같이 나타났다.

이로보아 變曲點은 R이 0.26M, Or이 0.13M일 때(즉 R:Or=66:33)이므로 R과 Or의 結合比率이 2:1임을 推定할 수 있다.

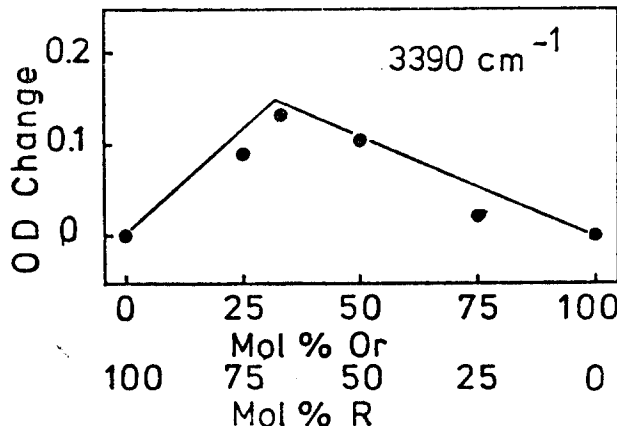


Fig. 4—Change in the optical density of the association bands found at 3380cm^{-1} as a function of the mole ratio of riboflavin tetraacetate and orotic acid butyl ester. The optical density of the pure solution is adjusted to zero.

結論

以上의 實驗 結果로써 riboflavin 誘導體와 orotic acid 誘導體間의 結合樣式은 다음에 제시되는 R:Or=2:1의 環狀水素結合體임을 推定할 수 있으며 結合比率에도 모순이 없다(Fig. 5).

그러나, 이것이 實際 生體內에서 일어나는 dihydroorotate dehydrogenase와 orotic acid 間에 이루어지는 結合樣式이라고는 斷定할 수는 없는 것으로 酶素中 存在하는 FAD 또는 FMN의 電子分布狀態에 따라 結合樣의 差異가 있을 것으로 생각되나, 본실험과 같은 酸化型의 riboflavin을 대상으로 할 때는 orotic acid 와의 反應은 以上에서 提案한 結合樣式이 가장 妥當性이 있음을 알 수 있으며 將來 還元型과의 反應 또는 보다 더 生體內에 가까운 實驗을 通하여 確實한 反應機轉이 밝혀지리라 믿으며 우리들의 研究課題로 삼고자 하는 바이다.

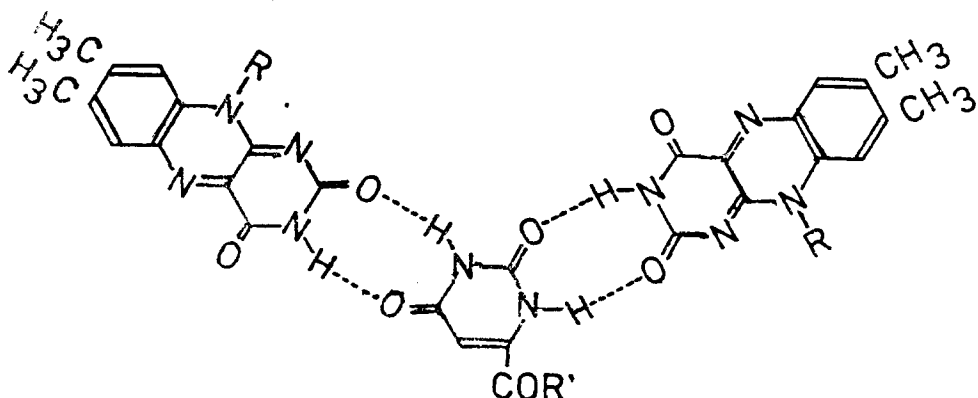


Fig. 5—Proposed interaction of riboflavin and orotic acid derivative in deuteriochloroform solution.

文 獻

1. V. Aleman and P. Handler, *J. Biol. Chem.*, **242**, 4087(1967).
2. H. C. Friedman and B. Vennesland, *J. Biol. Chem.*, **235**, 1519(1960).
3. A. L. Lehninger, Biochemistry, 2nd, Worth Publishers, Inc., New York, 486, 735(1975).
4. H. A. Harper, V. W. Rodwell and P. A. Mates, Review of Physiological Chemistry, 16th, Lange Medical Publications, California, 402(1975).
5. 邊溫星, 蔡東圭, 藥學會誌, **8**, 45(1964).
6. B. Pullman and A. Pullman, Quantum Biochemistry, John Willy & Sons, Inc., New York, 747(1963).
7. 俞炳禹, 韓國生化學會誌, **3**, 61(1970).
8. J. W. Robinson, Undergraduate Instrumental Analysis, 2nd, Marcel Dekker Inc., New York, 106(1970).
9. R. M. Silverstein, *et al.*, Spectrometric Identification of Organic Compounds, 3rd ed, John Wiley & Sons, Inc., New York, 104(1974).
10. 高木誠司, 定量分析의 實驗斗 計算 第3卷, 共立出版株式會社, 東京, 32, 1961.
11. A. N. Martin, J. Swarbrick and A. Cammarata, Physical Pharmacy, 2nd ed., Lea & Febiger, Inc., Philadelphia, 336, 1969.